

**ИССЛЕДОВАНИЕ ВЛИЯНИЯ РАССИНХРОНИЗАЦИИ ВХОДНЫХ  
ИЗОБРАЖЕНИЙ НА КАЧЕСТВО РАБОТЫ АЛГОРИТМА  
ПОИСКА СТРУКТУРНЫХ РАЗЛИЧИЙ**

**Корнилов Ф.А.**

**Институт математики и механики им. Н.Н. Красовского УрО РАН**

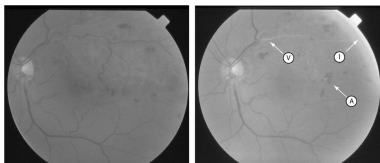
**Отдел прикладных проблем управления**

**г. Екатеринбург, 2015**

# 1.1. Поиск различий изображений



Анализ видеопоследовательностей →  
<http://changedetection.net>



← Обработка цифровых космических снимков земной поверхности

<http://www.landinformationssystem.at/>



Lu D., Mausel P., Brondizio E., Moran E.  
 Change detection techniques //  
 International Journal of Remote Sensing,  
 June 2004. Vol. 25, № 12. P. 2365–2401.



← Биомедицинские приложения



Radke R.J., Andra S., Al-Kofahi O.,  
 Roysam B. Image change detection  
 algorithms: a systematic survey // IEEE  
 Transactions on image processing,  
 Mar. 2005. Vol. 14, № 3. P. 294–307.

## 1.2. Структурные и неструктурные различия



## 1.3. Предыстория

- *Радиометрическая коррекция:*

Yang X., Lo C.P. Relative Radiometric Normalization Performance for Change Detection from Multi-Date Satellite Images // Photogrammetric Engineering and Remote Sensing, August 2000. Vol. 66, № 8. P. 967–980.

- *Текстурные признаки:*

le Hegarat-Masclé S., Seltz R., Hubert-Moy L., Corgne S., Stach N. Performance of change detection using remotely sensed data and evidential fusion: comparison of three cases of application // International Journal of Remote Sensing, 2006. Vol. 27, № 16. P. 3515–3532.

- *Анализ контуров:*

Li W., Li X., Wu Y., Hu Z. A Novel Framework for Urban Change Detection Using VHR Satellite Images // IEEE The 18th International Conference on Pattern Recognition (ICPR'06). Hong Kong, 2006. P. 312–315.

- *Аэросъемка и 3D модели:*

Huertas A., Nevatia R. Detecting changes in aerial views of manmade structures // Image and Vision Computing, May 2000. Vol. 18, № 8. P. 583–596.

- *Исследование влияния рассинхронизации изображений:*

Townshend J.R.G., Justice C.O., Gurney C. The impact of misregistration on change detection // IEEE Trans. Geosci. Remote Sensing, 1992. Vol. 30, Issue 5. P. 1054–1060.

Dai X., Khorram S. Quantification of the Impact of Misregistration on the Accuracy of Remotely Sensed Change Detection // IEEE Geoscience and Remote Sensing (IGARSS 1997), 1997. Vol. 4. P. 1763–1765.

## 1.4. Общее описание алгоритма поиска структурных различий

**Вход:** геометрически выровненные изображения  $f$  и  $g$ .

Для каждого положения сканирующего окна размера  $d \times d$  выполняются следующие шаги:

1. Построение выровненных по яркости изображений  $f' = P_g f$  и  $g' = P_f g$ .
2. Вычисление разностных изображений:  $R_{fg}(x) = |f'(x) - g(x)|$  и  $R_{gf}(x) = |g'(x) - f(x)|$ .
3. Симметризация результата:  $R(x) = \max(R_{fg}(x), R_{gf}(x))$ .
4. Пороговая обработка  $R$ .

**Выход:** бинарное изображение  $\mathbf{R}$ , содержащее найденные области структурных различий.

## 1.5. Функция преобразования яркости

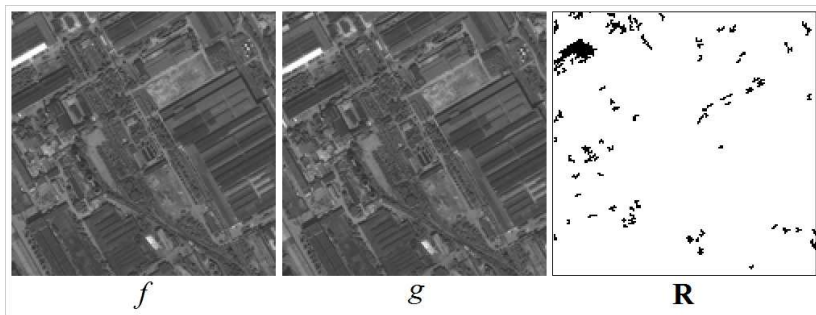
Регуляризованный вариант морфологического проектора

$$P_f g(x) = \frac{\sum_i \tilde{f}_i(x)}{\sum_j \tilde{\chi}_i^f(x)} = \sum_i \left( \frac{\sum_{x' \in X} g(x') \cdot \tilde{\chi}_i^f(x')}{\sum_{x' \in X} \tilde{\chi}_i^f(x')} \cdot \frac{\tilde{\chi}_i^f(x)}{\sum_j \tilde{\chi}_i^f(x)} \right),$$

где  $\tilde{\chi}_i^f$  вычисляется по формуле билатерального фильтра

$$\tilde{\chi}_i^f(x) = \exp\left(-\frac{(f(x) - i)^2}{\sigma_c^2}\right) \cdot \exp\left(-\frac{(x - x_c)^2}{\sigma_d^2}\right)$$

## 2.1. Локальная рассинхронизация входных изображений



Фрагменты исходных изображений городской застройки, представляющие собой снимок и его копию, сдвинутые относительно друг друга, и найденные структурные различия.

## 2.2. Локальная рассинхронизация входных изображений

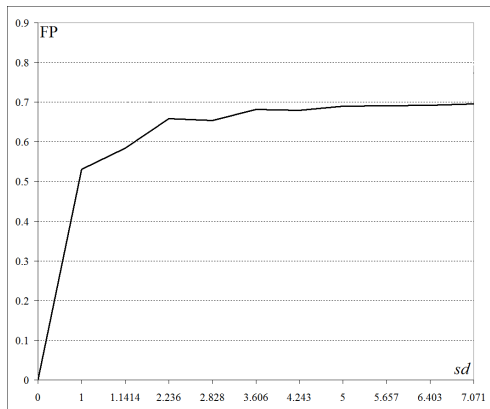
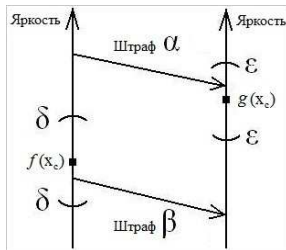


График зависимости уровня ложной тревоги  $FP$  от величины рассинхронизации  $sd$  изображений, изначально не содержащих структурных различий

## 2.3. Степень биактивности



$$SB(x_c) = \sum_{x \in L^0} h(x),$$

где  $h: S_d \rightarrow \mathbb{R}$  — функция штрафа,

$L^0$  — симметрическая разность  $L^0 = L_f^0(x_c) \Delta L_g^0(x_c)$ :

$$L_f^0(x_c) = \{x \in S_d \mid |f(x) - f(x_c)| < \delta\},$$

$$L_g^0(x_c) = \{x \in S_d \mid |g(x) - g(x_c)| < \varepsilon\},$$

$S_d$  — множество пикселей сканирующего окна.

## 2.4. Описание алгоритма поиска структурных различий с устранением локальной рассинхронизации

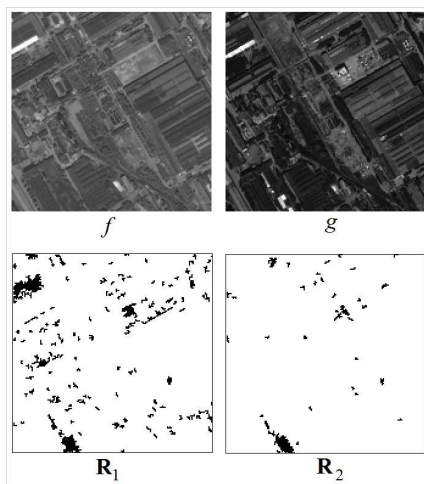
Вход: изображения  $f$  и  $g$ .

Для каждого положения сканирующего окна размера  $d \times d$  выполняются следующие шаги:

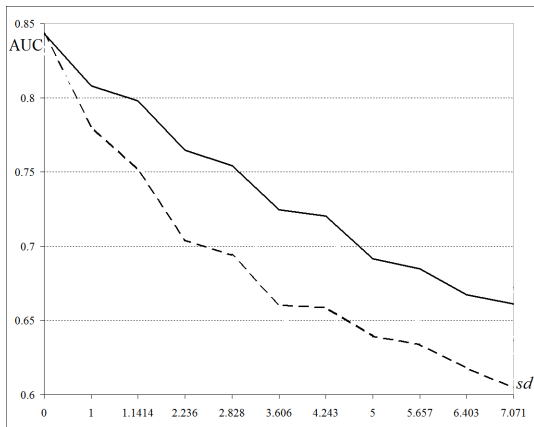
1. Из окрестности  $[-sd, sd]$  выбирается положение окна, для которого  $SB(x_c) \rightarrow \min$ .
2. Для найденного положения окна строятся выровненные по яркости изображения  $f' = P_g f$  и  $g' = P_f g$ .
3. Вычисление разностных изображений:  $R_{fg}(x) = |f'(x) - g(x)|$  и  $R_{gf}(x) = |g'(x) - f(x)|$ .
4. Симметризация результата:  $R(x) = \max(R_{fg}(x), R_{gf}(x))$ .
5. Пороговая обработка  $R$ .

Выход: бинарное изображение  $\mathbf{R}$ , содержащее найденные области структурных различий.

## 2.5. Поиск различий с устранением локальной рассинхронизации



## 2.6. Поиск различий с устранением локальной рассинхронизации



Графики зависимости  $AUC(sd)$  без геометрической коррекции (пунктирная линия) и с ее использованием (сплошная линия).